

鳥取大学工学部 正員 勝見 雅
鳥取大学工学部 正員 岩成 敏介

1.はじめに 近年、擁壁の転倒防止、補強土工法として、プレート・アンカーが多く用いられるようになつた。アンカーの支持力を必要十分に、また経済的にということを考えて、アンカーの設置位置を決める場合にはあくまでもアンカー自由長及び埋込み深さに対する支持力機構を明かにしておく必要がある。そこで本報告は、土留アンカーを設置した二次元模型実験装置を用いて、擁壁を転倒させたときのアンカーの支持力特性を求めた水平限界長さ L_{cr} について、擁壁の効果と埋込み深さを考慮して分類することと、このときのすべり面を写真観察して、すべり面の形状特性を明かにしようとするものである。

2. 実験装置および実験方法 実験装置は図-1に示すとおりである。土槽の前面は砂の動きが観察できるように、1cmの網目を刻んだアクリル板を取り付けた。アンカープレートはアクリル板で、寸法は幅 $\alpha = 1, 2, 4, 6, 10\text{cm}$ 奥行 9.9cm 厚さ 1cm である。アンカーの引張材としては $\phi 2.3\text{mm}$ のピアノ線を用い、このピアノ線に引抜き抵抗力測定のためのひずみゲージを貼り付けた。また、模型地盤は鳥取砂丘砂の 2mm フルイを通過した乾燥試料を用いた。この砂の内部摩擦角 ϕ は 38° 、粘着力 C は 0 である。アンカーの設置位置は、地盤の深さを数段階に分け、ある深さに対して、アンカー自由長を予想される水平限界長さ L_{cr} （引抜き抵抗力 Q が擁壁転倒による影響をうけなくなる限界のアンカー自由長）の前後 $2, 3$ 点ずつを選んで決めた。

3. 実験結果と考察 図-2は浅いアンカーと深いアンカーの限界深さを求めたため、擁壁転倒の影響のない位置（ $L > L_{cr}$ ）にアンカーを埋設して、得られた引抜き抵抗力 Q を AH で除した値 N_q と根入れ比入（ H/α ）の関係を表わしたものである。ここに、 ρ は砂の単位体積重量、 A はプレートの面積である。この図より限界深さは根入れ比で 7 前後である。

図-3（浅いアンカー）および図-4（深いアンカー）は N_q とアンカー自由長 L の関係をアンカー深さ H をパラメータとして、その代表例を示す。この図から、あるアンカー深さ H においては、 N_q は L が大きくなるにつれて増加するが、ある長さ（水平限界長さ L_{cr} ）以上では一定になる。また、図-3の浅いアンカーでは、 L_{cr} はアンカーが深くなるにつれて大きくなっている。図-4の深いアンカーについては、プレート幅 α が等しければ L_{cr} は深さの影響をうけないで、ほぼ一定値を示す。しかし、 α の寸法が大きくなれば、 L_{cr} は大きくなる。次に、図-4で得られた L_{cr} から擁壁転倒時に生じる主動すべり面と地表面との交点から壁体までの長さ 27cm を差し引いた値とプレート幅の関係を H をパラメータとして図-5に示す。この図からプロット点はほぼ原点を通る直線関係を示すことがわかった。この直線の勾配つまり水平限界根入れ比 $\{\Delta L_{cr} = (L_{cr} - 27)/\alpha\}$ は約14である。これよりのことから、アンカー引抜き抵抗力が擁壁転倒の影響をうけなくなる位置は、擁壁転倒による主動すべり面と地表面の交点からの鉛直線を基準面として、 ΔL_{cr} で表わすと約14である。

図-6は深さ H と L の座標上に、総ての L_{cr} をプロットしたものである。浅いアンカーでは $\alpha = 2\text{cm}$ を除いてほぼ直線で近似できる。この直線と L 座標との角度は 23° 、受動すべり面と地面とのなす角 $(45 - \frac{\phi}{2})$ にほぼ等しい。さうにこの直線は図-2で得られたそれぞれのアンカーの限界根入れ比付近で鉛直方向に曲り、深いアンカーでは L_{cr} 値は各深さに対して一定な直線関係を示すようである。

図-7は浅いアンカー（ $a \sim c$ ）、深いアンカー（ $d \sim f$ ）について、アンカー自由長 L に対するすべり面の形状を模式化して示したものである。浅いアンカーのプレート下端に生ずるすべり面は（a）、（b）図のように L が長くなるにつれて、下向きから上向きへと移動する。また、水平限界長さ以上では（c）図のように地表面と交差する。深いアンカーで L の短いすべり面（d）図は（a）図のすべり面形状と類似している。しかし、深いアンカーと異なると

これは、 L が長くなるにつれて、(e)図のようにプレート上端からもすべり面が生じていることである。しかしより長くなると、この両端のすべり面はアンカーロッドに近づく。そして、水平限界長さ以上では、すべり面の形状は(f)図のようにうず巻き状になる。

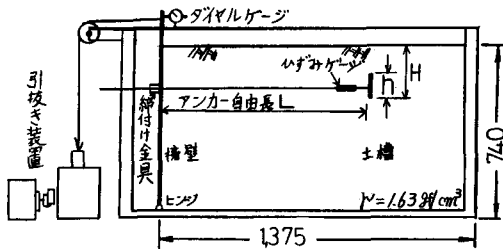


図-1 実験装置

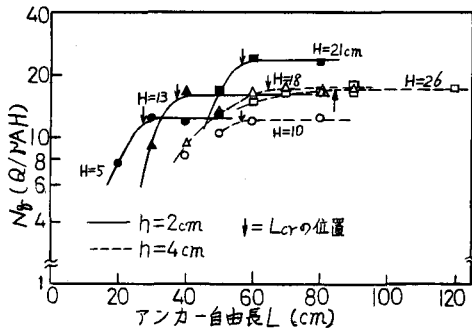


図-3 深いアンカーの N_g と L の関係

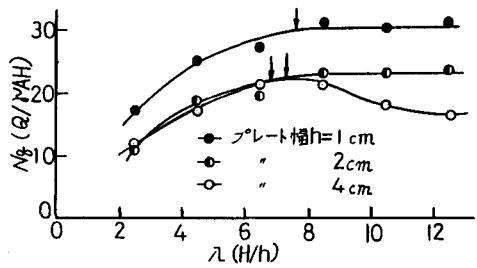


図-2 N_g と H/h の関係

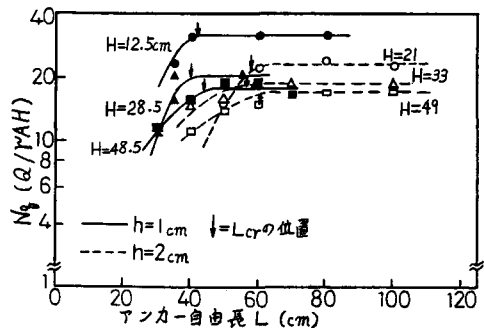


図-4 深いアンカーの N_g と L の関係

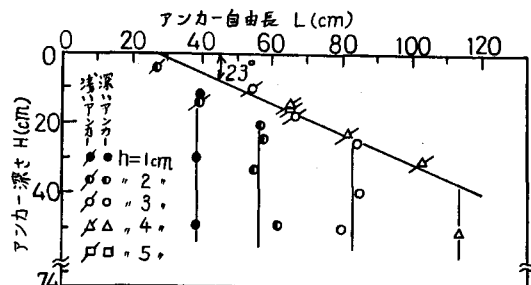


図-6 L_{cr} の H と L の関係

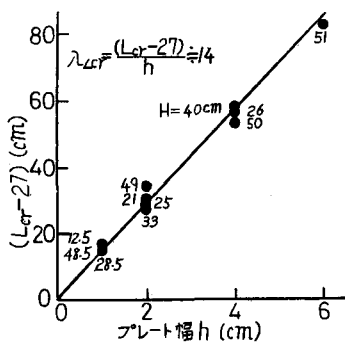


図-5 $(L_{cr} - 27)$ と h の関係

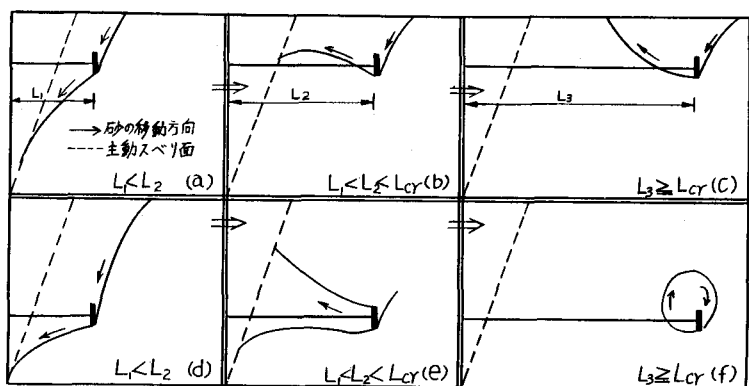


図-7 スベリ面形状の模式図